

بسم الله الرحمن الرحيم



دانشگاه صنعتی امیرکبیر

(پلی تکنیک تهران)

بررسی تئوری و تجربی تنoshهای صفحه‌ای با استفاده از روش‌های نوری

ارائه شده برای دریافت درجه کارشناسی ارشد

توسط:

محمود بخشنده

استاد راهنما

دکتر یونس علیزاده

استاد مشاور

مهندس ناصر پرتوی شبستری

دانشکده مهندسی مکانیک

شماره :
تاریخ :

فرم اطلاعات پایان نامه
کارشناسی ارشد



مشخصات دانشجو

نام و نام خانوادگی : محمود بخشند

شماره دانشجویی : ۸۵۱۲۶۰۵۶ دانشکده : مهندسی مکانیک

نام و نام خانوادگی استاد راهنما / استادان راهنما: دکتر یونس علیزاده وصالو

عنوان به فارسی : بررسی تئوری و تجربی تنش های صفحه ای با استفاده از روش های نوری

عنوان به انگلیسی : Investigation On Theoretical And Experimental Plane Stress Using Optical Methods

نوع پژوهه : کارشناسی ارشد

تعداد واحد

تاریخ خاتمه : ۸۷/۱۰/۱۶

تاریخ شروع : ۸۶/۷/۱

سازمان تأمین کننده اعتبار : معاونت پژوهشی دانشگاه صنعتی امیرکبیر

واژه های کلیدی به فارسی : اندازه گیری تجربی تغییر شکل و کرنش، تداخل سنجی طرح اسپکل دیجیتالی، تکنیک شیفت فاز

واژه های کلیدی به انگلیسی : ESPI, Experimental Strain Measurement, Phase Shifting Technique

نظرها و پیشنهادها به منظور بهبود فعالیت های پژوهشی دانشگاه :

استاد راهنما / استادان راهنما : دکتر یونس علیزاده وصالو

دانشجو : محمود بخشند امضا استاد راهنما : تاریخ :

چکیده

در سالهای اخیر پیشرفت‌های چشمگیری در نرم افزارهای المان محدود برای شبیه‌سازی و مدل‌سازی تغییرشکل، کرنش و تنش قطعات انجام شده است. استفاده از این نرم افزارها، نسبت به روش‌های سنتی اندازه‌گیری تجربی تغییرشکل و کرنش، ارزانقیمت و سریع می‌باشند اما متغیرهای بسیاری مثل شرایط مرزی، غیرهموژنی مواد، آسیب‌دیدگی و غیره وجود دارد که این نرم افزارها نمی‌توانند به طور کافی آنها را مدل کنند. بنابراین، همچنان نیاز به روش‌های تجربی کارا برای ارزیابی مقادیر تجربی تغییرشکل و کرنش می‌باشد.

در این پژوهش، از تکنیک نوری تداخل سنجی طرح اسپکل دیجیتالی برای اندازه‌گیری توزیع تغییرشکل استفاده شده است. به کمک این تکنیک و استفاده از تکنیک شیفت فاز، توزیع کمی فاز تداخلی طرح اسپکل ناشی از تابش پرتوهای لیزر تابیده به سطح قطعه به دست آورده شد. برای اعمال تکنیک شیفت فاز، یک ترانسdiyosr پیزوالکتریک طراحی، ساخته و کالیبره گردید. این ترانسdiyosr به همراه یک آینه نصب شده روی آن، در مسیر پرتو لیزر تابیده به سطح قرار داده شد که با جابجایی آینه، شیفت فاز مورد نظر اعمال گردید. با توجه به منحنی عملکردی خطی این ترانسdiyosr، مناسبترین تکنیک شیفت فاز، تکنیک شیفت فاز Carre مشخص گردید که با استفاده از آن، توزیع فاز تداخلی برای حالت قبل و بعد از تغییرشکل به دست آورده شد و با تفاضل این دو توزیع فاز، تغییر فاز تداخلی در اثر تغییرشکل حاصل گردید. طرح تغییر فاز تفاضلی حاصل، حاوی نویزهای بسیاری می‌باشد که برای حذف این نویزهای از فیلتر مثلثاتی استفاده شد. سپس طرح فاز صاف شده، با توجه به شرایط مرزی حاکم بر قطعه تحت بار، واپیچیده گردید تا تغییر فاز تداخلی مطلق در اثر تغییرشکل حاصل شود. سپس با توجه به رابطه جابجایی-تغییر فاز، توزیع تغییرشکل سطح قطعه در اثر اعمال بار، در جهت موردنظر به دست آورده شد. با مشتق گیری از روش رگرسیون دو بعدی از این توزیع تغییرشکل، توزیع کرنش در همان جهت محاسبه گردید. با محاسبه کرنش و استفاده از روابط تنش-کرنش، توزیع تنش قابل محاسبه می‌باشد. در پایان، نتایج به دست آمده از آزمایش روی چند ورق فولادی، با نتایج حاصل از حل المان محدود به کمک نرم افزار ANSYS، با هم مقایسه شد که نتایج هم از لحاظ نحوه توزیع و هم از لحاظ مقادیر کرنش و تنش، با هم مطابقت بالایی دارند.

کلمات کلیدی

اندازه‌گیری تجربی تغییرشکل و کرنش (Experimental Deformation and Strain Measurement)، تداخل سنجی طرح اسپکل دیجیتالی (Phase Shifting Technique)، تکنیک شیفت فاز (Digital Speckle Pattern Interferometry)، رگرسیون دوبعدی (2D Regression)، المان محدود (Finite Element)

فهرست مطالب

| | |
|-----|--|
| الف | فهرست شکل‌ها |
| ز | فهرست جداول |
| ح | فهرست علائم |
| ۱ | فصل ۱ - مقدمه |
| ۲ | ۱-۱- مزایای تکنیک تداخل سنجی طرح اسپکل دیجیتالی |
| ۳ | ۲-۱- تاریخچه |
| ۷ | فصل ۲ - اصول پدیده‌های اپتیکی مورد استفاده |
| ۷ | ۱-۱- امواج نوری |
| ۸ | ۲-۱- شدت نور |
| ۹ | ۳-۲- قطبش |
| ۹ | ۱-۳-۲- قطبش خطی |
| ۱۰ | ۲-۳-۲- قطبش دایره‌ای |
| ۱۰ | ۳-۳-۲- قطبش بیضی وار |
| ۱۱ | ۴-۲- تداخل دو موج با دامنه‌های متفاوت و فرکانس برابر |
| ۱۲ | ۵-۲- همدوسی نور |
| ۱۲ | ۱-۵-۲- شرایط همدوسی |
| ۱۳ | ۲-۵-۲- همدوسی زمانی |
| ۱۳ | ۳-۵-۲- همدوسی مکانی |
| ۱۴ | ۶-۲- طرح اسپکل |
| ۱۶ | ۷-۲- آرایه‌های CMOS و CCD |
| ۱۷ | ۱-۷-۲- مزایا و معایب تصویر سازهای CCD نسبت به CMOS |
| ۱۸ | ۸-۲- هولوگرافی |
| ۲۲ | فصل ۳ - تداخل سنجی هولوگرافی |
| ۲۲ | ۱-۳- ضبط و بازسازی یک الگوی تداخلی هولوگرافی با نوردهی مضاعف |
| ۲۵ | ۲-۳- تغییرات فاز تداخل در اثر تغییر شکل |

| | |
|----|--|
| ۲۸ | -۳-۳- بهینه سازی چیدمان هولوگرافی |
| ۲۹ | -۴- روش تداخلی سنجی طرح اسپکل دیجیتالی (DSPI) |
| ۳۵ | -۳-۵- نحوه محاسبه کرنش و تنش از توزیع تغییرشکل |
| ۳۷ | -۳-۵-۱- اندازه‌گیری کرنش با استفاده از روش رگرسیون دو بعدی |
| ۴۰ | -۳-۶- تکنیک های شیفت فاز برای شناسایی فاز تداخلی |
| ۴۶ | -۳-۷- وسایل شیفت دهنده فاز |
| ۴۶ | -۳-۱-۷- دوران تیغه‌های نیم موج و ربع موج |
| ۴۹ | -۳-۲-۷- دوران یک ورق شیشه‌ای |
| ۴۹ | -۳-۳-۷- کشش فیبر نوری |
| ۵۰ | -۳-۴-۷- جابجایی یک آینه |
| ۵۱ | -۳-۸- فیلترهای مورد استفاده برای حذف نویز |
| ۵۱ | -۳-۱-۸- فیلتر پایین گذر میانگین |
| ۵۳ | -۳-۲-۸- فیلتر میانه |
| ۵۵ | -۳-۳-۸- فیلتر مثلثاتی |
| ۵۶ | -۳-۴-۸- مقایسه فیلترهای مختلف |
| ۵۷ | -۳-۹- واپیچش فاز |
| ۶۰ | فصل ۴ - ترانسdiyosر پیزوالکتریک ساخته شده |
| ۶۱ | -۴-۱- تشریح کلی طرح ترانسdiyosر |
| ۶۳ | -۴-۲- مدار الکتریکی ترانسdiyosر |
| ۶۴ | -۴-۳- کالیبراسیون ترانسdiyosر پیزوالکتریک |
| ۶۵ | -۴-۱-۳- بررسی عملکرد ترانسdiyosر با استفاده از دستگاه ایترفرومتری MOLLER_WEDEL |
| ۶۶ | -۴-۲-۳- بررسی عملکرد ترانسdiyosر با استفاده از کمپراتور الکتریکی Sigma |
| ۶۸ | فصل ۵ - نتایج |
| ۶۸ | -۵-۱- چیدمان آزمایشگاهی |
| ۷۲ | -۵-۲- نتایج آزمایش |
| ۷۴ | -۵-۱-۲- نتایج به دست آمده از تفاضل طرح‌های اسپکل |
| ۷۵ | -۵-۲-۲- نتایج به دست آمده از تکنیک شیفت فاز |

| | |
|-----|--|
| ۷۵ | ۱-۲-۲-۵- آزمون ورق دو سرگیردار فولادی |
| ۸۰ | ۲-۲-۲-۵- آزمون ورق سه سرگیردار فولادی |
| ۸۳ | ۳-۲-۲-۵- آزمون ورق چهار سرگیردار فولادی |
| ۸۷ | ۴-۲-۲-۵- آزمون ورق چهار سرگیردار کامپوزیتی |
| ۹۰ | ۵-۲-۲-۵- آزمون ورق دو سرگیردار فولادی کم عرض برای بررسی توزیع تنش |
| ۹۲ | ۳-۵- بررسی اثر تعداد دفعات اعمال فیلتر مثلثاتی بر روی مقادیر کرنش |
| ۹۳ | ۴-۵- بررسی اثر ابعاد ماتریس مشتق‌گیر در روش رگرسیون دو بعدی بر روی مقادیر کرنش |
| ۹۵ | ۵-۵- مقایسه نتایج آزمایش با نتایج حل المان محدود به کمک نرم‌افزار ANSYS |
| ۹۵ | ۱-۵-۵- اعمال جابجایی ثابت 0.02 mm روی ورق فولادی سه سرگیردار |
| ۱۰۰ | ۲-۵-۵- اعمال جابجایی ثابت 0.02 mm روی ورق فولادی دو سرگیردار باریک |
| ۱۰۵ | فصل ۶- نتیجه‌گیری و پیشنهادات |
| ۱۰۹ | فهرست مراجع |
| ۱۱۳ | واژه نامه |
| ۱۱۵ | ضمیمه ۱- برنامه‌های نوشته شده در MATLAB |
| ۱۲۴ | ضمیمه ۲- نقشه قطعات ترانس迪وسر پیزوالکتریک |

فهرست جداول

- جدول ۱-۵- مقادیر کرنش در زیر محل بار، برای ۴ حالت بارگذاری ورق دو سرگیردار فولادی ۸۰
- جدول ۲-۵- مقادیر کرنش در زیر محل بار برای ۴ حالت بارگذاری ورق ۳ سرگیردار فولادی ۸۲
- جدول ۳-۵- مقادیر کرنش در زیر محل بار برای ۴ حالت بارگذاری ورق ۴ سرگیردار فولادی ۸۶

فهرست شکل‌ها

| | |
|----|---|
| ۳ | شکل ۱-۱ - چیدمان اولیه به کاررفته توسط لیندرترز برای اندازه گیری جابجایی در صفحه |
| ۹ | شکل ۱-۲ - نور قطبیده خطی |
| ۱۰ | شکل ۲-۲ - نور قطبیده دایروی |
| ۱۰ | شکل ۳-۲ - نور قطبیده بیضی وار |
| ۱۱ | شکل ۴-۲ - بردارهای موج |
| ۱۳ | شکل ۵-۲ - همدوسی نور |
| ۱۴ | شکل ۶-۲ - برخورد نور با یک سطح زبر |
| ۱۴ | شکل ۷-۲ - طرح اسپکل |
| ۱۵ | شکل ۸-۲ - طرح های اسپکل (الف) حقیقی (ب) غیر حقیقی |
| ۱۵ | شکل ۹-۲ - تابع احتمال شدت |
| ۱۷ | شکل ۱۰-۲ - نحوه خواندن اطلاعات در یک آرایه CCD |
| ۲۰ | شکل ۱۱-۲ - یک چیدمان هولوگرافی نمونه (الف) ضبط هولوگرام (ب) بازسازی جبهه موج شیئی |
| ۲۳ | شکل ۱-۳ - ثبت یک طرح تداخلی هولوگرافی با نوردهی مضاعف جسم در حالت (الف) بی باری (ب) بارگذاری شده |
| ۲۴ | شکل ۲-۳ - بازسازی یک طرح تداخلی هولوگرافی با نوردهی مضاعف |
| ۲۵ | شکل ۳-۳ - ساختار هولوگرافی برای اندازه گیری تغییر فرم یک سطح تیره |
| ۲۹ | شکل ۴-۳ - بردارهای حساسیت (الف) ثابت و (ب) متغیر |
| ۲۹ | شکل ۳-۵ - چیدمان‌های تکنیک DSPI حساس به جابجایی (الف) در صفحه X و (ب) عمود بر صفحه Z |
| ۳۱ | شکل ۳-۶ - نحوه تشکیل فریز تداخلی طرح اسپکل |
| ۳۲ | شکل ۷-۳ - بردارهای تابش و رویت برای چیدمان حساس به جابجایی در صفحه |
| ۳۴ | شکل ۳-۸ - بردارهای تابش و رویت برای چیدمان حساس به جابجایی عمود بر صفحه |
| ۴۱ | شکل ۳-۹ - نحوه عملکرد تکنیک شیفت فاز ۴ فریم |

| | |
|----|--|
| ۴۶ | شکل ۱۰-۳ - شیفت فاز به کمک صفحات نیم و ربع موج |
| ۴۷ | شکل ۱۱-۳ - شیفت فاز به کمک صفحات نیم و ربع موج |
| ۴۹ | شکل ۱۲-۳ - شیفت فاز با دوران صفحه شیشه‌ای |
| ۵۰ | شکل ۱۳-۳ - شیفت فاز با کشش فیبر نوری |
| ۵۲ | شکل ۱۴-۳ - نحوه عملکرد فیلتر میانگین |
| ۵۳ | شکل ۱۵-۳ - تأثیر فیلتر میانگین در افزایش کیفیت طرح فاز تداخلی - (الف) طرح فاز تداخلی اوایله، (ب) یک بار اعمال فیلتر میانگین 3×3 ، (ج) ۱۰ بار اعمال فیلتر میانگین 3×3 ، (د) یک بار اعمال فیلتر میانگین 7×7 |
| ۵۴ | شکل ۱۶-۳ - نحوه عملکرد فیلتر میانه |
| ۵۶ | شکل ۱۸-۳ - تأثیر فیلتر مثلثاتی در افزایش کیفیت طرح فاز تداخلی - (الف) طرح فاز تداخلی اوایله، (ب) یک بار اعمال فیلتر مثلثاتی 3×3 ، (ج) ۱۰ بار اعمال فیلتر مثلثاتی 3×3 ، (د) یک بار اعمال فیلتر مثلثاتی 7×7 |
| ۵۷ | شکل ۱۹-۳ - مقایسه تأثیر فیلترهای مختلف در افزایش کیفیت طرح فاز تداخلی - (الف) طرح تداخلی اوایله، (ب) یک بار اعمال فیلتر میانگین 3×3 ، (ج) یک بار اعمال فیلتر میانه 3×3 ، (د) یک بار اعمال فیلتر مثلثاتی 3×3 |
| ۵۸ | شکل ۲۰-۳ - اطلاعات فاز (الف) قبل و (ب) بعداز واپیچش فاز |
| ۵۹ | شکل ۲۱-۳ - (الف) طرح فریزهای فاز تداخلی، (ب) طرح فاز تداخلی مطلق به دست آمده از روش واپیچش فاز برانکات |
| ۶۰ | شکل ۱-۴ شیفت فاز با استفاده از ترانسdiyoسر پیزوالکتریک |
| ۶۲ | شکل ۲-۴ نحوه اتصال الکتریکی پیزوسرامیک‌ها |
| ۶۲ | شکل ۳-۴ - مقطع ترانسdiyoسر پیزوالکتریک |
| ۶۳ | شکل ۴-۴ - قطعات دمونتاژ شده ترانسdiyoسر پیزوالکتریک |
| ۶۳ | شکل ۴-۵ - ترانسdiyoسر پیزوالکتریک و برد الکتریکی آن |
| ۶۴ | شکل ۴-۶ - مدار الکتریکی ترانسdiyoسر پیزوالکتریک |
| ۶۴ | شکل ۴-۷ - منحنی تجربی سختی دو فنر بشقابی در حالتی که در ترانسdiyoسر قرار گرفته‌اند |
| ۶۵ | شکل ۴-۸ - چیدمان استفاده شده برای استخراج منحنی سختی فنرهای بشقابی |
| ۶۵ | شکل ۴-۹ - بررسی عملکرد ترانسdiyoسر با استفاده از ایترفرومتر MOLLER_WEDEL |

- شکل ۱۰-۴- فریزهای تاریک و روشن ایجاد شده در ولتاژهای صفر(الف)، ۵۰(ب) و ۱۰۰(ج)
ولت اعمالی به ترانسdiyosr
شکل ۱۱-۴ نحوه کالیبراسیون ترانسdiyosr با کمپراتور الکتریکی
شکل ۱۲-۴- منحنی عملکردی موقعیت دهنده در حالت افزایش ولتاژ و پیش بار N ۵۲۹ (الف)
و N ۲۷۲ (ب)
شکل ۱۳-۴- تکرارپذیری عملکرد ترانسdiyosr با پیش بار N ۳۴۳
شکل ۱-۵- طرح شماتیک چیدمان
شکل ۲-۵- چیدمان تداخل سنجی طرح اسپکل دیجیتالی حساس به جابجایی در جهت X
شکل ۳-۵- ترانسdiyosr پیزوالکتریک استفاده شده در چیدمان
شکل ۴-۵- فیکسچر اعمال بار
شکل ۵-۵- نحوه تغییرشکل در جهت X برای یک ورق دو سرگیردار با اعمال جابجایی
الف) یک صدم تا ه پنج صدم میلیمتر به صورت عمود بر ورق و در مرکز آن
شکل ۶-۵- نحوه تغییرشکل در جهت X برای یک ورق چهار سرگیردار با اعمال جابجایی
الف) پنج میکرون تا ط) ۴۵ میکرون به صورت عمود بر ورق و در مرکز آن
شکل ۷-۵- نحوه اعمال بار به ورق فولادی دو سرگیردار الف) عملی، ب) شماتیک
شکل ۸-۵- طرح فاز تداخلی به دست آمده از تکنیک شیفت فار Carre الف) قبل و ب) بعد از
بارگذاری 0.04 mm توسط میکرومتر
شکل ۸-۵- تغییر فاز تداخلی به دست آمده از تکنیک شیفت فاز مربوط به الف) 0.01 mm، ب)
ج) 0.02 mm، د) 0.03 mm، ج) 0.02 mm
شکل ۹-۵- طرح های تغییر فاز تداخلی فیلتر شده، مربوط به الف) 0.01 mm، ب)
ج) 0.02 mm، د) 0.03 mm، ج) 0.04 mm
شکل ۱۰-۵- طرح های تغییر فاز تداخلی واپیچیده شده، مربوط به الف) 0.01 mm، ب)
ج) 0.02 mm، د) 0.03 mm، ج) 0.04 mm
شکل ۱۱-۵- توزیع تغییرشکل سطح قطعه در جهت X مربوط به الف) 0.01 mm، ب)
ج) 0.02 mm، د) 0.03 mm، ج) 0.04 mm
شکل ۱۱-۵- توزیع کرنش سطح قطعه در جهت X مربوط به الف) 0.01 mm، ب)
ج) 0.02 mm، د) 0.03 mm، ج) 0.04 mm

- شکل ۱۲-۵- نحوه اعمال بار به ورق فولادی سه سرگیردار (الف) عملی، ب) شماتیک
- شکل ۱۳-۵- طرح‌های تغییر فاز تداخلی، مربوط به (الف) ۰.۰۱ mm، ب) ۰.۰۲ mm، ج) ۰.۰۳ mm
- شکل ۱۴-۵- طرح‌های تغییر فاز تداخلی فیلتر شده، مربوط به (الف) ۰.۰۱ mm، ب) ۰.۰۲ mm، ج) ۰.۰۳ mm
- شکل ۱۵-۵- توزیع تغییرشکل سطح قطعه در جهت X، مربوط به (الف) ۰.۰۱ mm، ب) ۰.۰۲ mm، ج) ۰.۰۳ mm
- شکل ۱۶-۵- توزیع کرنش سطح قطعه در جهت X، مربوط به (الف) ۰.۰۱ mm، ب) ۰.۰۲ mm، ج) ۰.۰۳ mm
- شکل ۱۷-۵- نحوه اعمال بار به ورق فولادی چهار سرگیردار (الف) عملی، ب) شماتیک
- شکل ۱۸-۵- طرح‌های تغییر فاز تداخلی، مربوط به (الف) ۰.۰۱ mm، ب) ۰.۰۲ mm، ج) ۰.۰۳ mm
- شکل ۱۹-۵- طرح‌های تغییر فاز تداخلی، مربوط به (الف) ۰.۰۱ mm، ب) ۰.۰۲ mm، ج) ۰.۰۳ mm
- شکل ۲۰-۵- طرح‌های تغییر فاز تداخلی فیلتر شده، مربوط به (الف) ۰.۰۱ mm، ب) ۰.۰۲ mm، ج) ۰.۰۴ mm
- شکل ۲۱-۵- توزیع تغییر شکل سطح قطعه در جهت X، مربوط به (الف) ۰.۰۱ mm، ب) ۰.۰۲ mm، ج) ۰.۰۳ mm
- شکل ۲۲-۵- توزیع کرنش سطح قطعه در جهت X، مربوط به (الف) ۰.۰۱ mm، ب) ۰.۰۲ mm، ج) ۰.۰۴ mm
- شکل ۲۳-۵- تغییرات کرنش روی خط عبوری از وسط عرض ورق در ۴ مقدار بارگذاری
- شکل ۲۴-۵- نحوه اعمال بار به ورق کامپوزیتی چهار سرگیردار (الف) عملی، ب) شماتیک
- شکل ۲۵-۵- طرح‌های تغییر فاز تداخلی، مربوط به (الف) ۰.۰۱ mm، ب) ۰.۰۲ mm
- شکل ۲۶-۵- طرح‌های تغییر فاز تداخلی فیلتر شده، مربوط به (الف) ۰.۰۱ mm، ب) ۰.۰۲ mm
- شکل ۲۷-۵- توزیع تغییرشکل سطح قطعه در جهت X، مربوط به (الف) ۰.۰۱ mm، ب) ۰.۰۲ mm

- ۹۰ شکل ۵-۲۸-۵- توزیع کرنش سطح قطعه در جهت X، مربوط به الف) 0.01 mm، ب) 0.02 mm بارگذاری
- ۹۰ شکل ۵-۲۹-۵- نحوه اعمال بار به ورق فولادی دو سرگیردار با عرض کم الف) واقعی، ب) شماتیک
- ۹۱ شکل ۵-۳۰-۵- طرح تغییر فاز تداخلی الف) اولیه، ب) فیلتر شده برای 0.02 mm بارگذاری
- ۹۱ شکل ۵-۳۱-۵- توزیع تنش سطح قطعه در جهت X، مربوط به الف) 0.01 mm و ب) 0.02 mm بارگذاری
- ۹۲ شکل ۵-۳۲-۵- طرح‌های تغییر فاز تداخلی فیلتر شده، بعد از الف) ۵، ب) ۱۰، ج) ۱۵، د) ۲۰ و و) ۳۰ بار اعمال فیلتر مثلثاتی ۷×۵
- ۹۳ شکل ۵-۳۳-۵- اثر تعداد دفعات اعمال فیلتر مثلثاتی بر روی مقادیر کرنش
- ۹۴ شکل ۵-۳۴-۵ - نحوه عملکرد برازش حداقل مربعات یک بعدی
- ۹۵ شکل ۵-۳۵-۵- اثر تغییر ابعاد ماتریس مشتق گیر بر مقادیر کرنش در روش رگرسیون دو بعدی
- ۹۶ شکل ۵-۳۶-۵- تغییر شکل ورق سه سرگیردار تحت جابجایی ثابت
- ۹۶ شکل ۵-۳۷-۵- توزیع تغییر شکل در جهت X به دست آمده از ANSYS برای ورق سه سرگیردار تحت جابجایی ثابت
- ۹۷ شکل ۵-۳۸-۵- توزیع تغییر شکل در جهت X به دست آمده از آزمایش برای ورق سه سرگیردار تحت جابجایی ثابت
- ۹۸ شکل ۵-۳۹-۵- توزیع کرنش در جهت X به دست آمده از ANSYS برای ورق سه سرگیردار تحت جابجایی ثابت
- ۹۸ شکل ۵-۴۰-۵- توزیع کرنش در جهت X به دست آمده از آزمایش ورق سه سرگیردار تحت جابجایی ثابت
- ۹۹ شکل ۵-۴۱-۵- تغییرات کرنش روی لبه بالایی ورق سه سرگیردار
- ۱۰۰ شکل ۵-۴۲-۵- تغییر شکل ورق دو سرگیردار تحت جابجایی ثابت
- ۱۰۰ شکل ۵-۴۳-۵- توزیع تغییر شکل در جهت X به دست آمده از ANSYS برای ورق دو سرگیردار تحت جابجایی ثابت
- ۱۰۱ شکل ۵-۴۴-۵- توزیع تغییر شکل در جهت X به دست آمده از آزمایش برای ورق دو سرگیردار تحت جابجایی ثابت

- شکل ۵-۴۵- توزیع کرنش در جهت X به دست آمده از ANSYS برای ورق دو سرگیردار تحت جابجایی ثابت ۱۰۱
- شکل ۵-۴۶- توزیع کرنش در جهت X به دست آمده از آزمایش ورق دو سرگیردار تحت جابجایی ثابت ۱۰۲
- شکل ۵-۴۷- تغییرات کرنش روی خط وسط ورق دو سرگیردار ۱۰۲
- شکل ۵-۴۸- توزیع تنش در جهت X به دست آمده از ANSYS برای ورق دو سرگیردار تحت جابجایی ثابت ۱۰۳
- شکل ۵-۴۹- توزیع تنش در جهت X به دست آمده از ANSYS برای ورق دو سرگیردار تحت جابجایی ثابت ۱۰۳
- شکل ۵-۵۰- تغییرات تنش روی خط وسط ورق دو سرگیردار ۱۰۴

فهرست علائم

| | |
|------------|--------------------------------------|
| D | قطر سطح زبر مورد بررسی |
| d | بردار جابجایی |
| E | شدت میدان الکتریکی |
| e | بردار حساسیت |
| F | روزنہ عدسی |
| I | شدت نور |
| k | بردار موج |
| M | بزرگنمایی |
| NA | روزنہ عددی موثر |
| r | بردار مکانی |
| R | مقدار برگردانده شده از فیلتر میانگین |
| s | بردار تابش |
| t | زمان |
| T | دوره تناوب |
| u | تغییرشکل در جهت \mathbf{X} |
| V | نمایانی فریز تداخلی |
| v | تغییرشکل در جهت \mathbf{y} |
| w | تغییرشکل در جهت \mathbf{z} |
| Z | فاصله از سطح زبر |
| E_{Mat} | مدول الاستیسیته مواد |
| E_{circ} | موج قطبیده دایره ای |
| E_{lin} | موج تخت |

| | |
|-----------------|--|
| I_0 | شدت میانگین |
| $M_{\lambda/2}$ | ماتریس تیغه نیم موج |
| $M_{\lambda/4}$ | ماتریس تیغه ربع موج |
| P_x | طول نمایشی هر پیکسل |
| T_m | پهنهای زمانی مورد نظر |
| b_v | بردار رؤیت |
| c_l | سرعت نور |
| d_{33} | کرنش دینامیکی در جهت ضخامت پیزو |
| γ_{xy} | کرنش برشی |
| τ_{xy} | تنش برشی |
| $\Delta\phi$ | تغییر فاز |
| β | زاویه بین عمود بر سطح آینه و پرتو نور لیزر |
| δ | اختلاف مسیر نور |
| ε | کرنش |
| θ | زاویه بین عمود بر سطح قطعه و پرتو نور لیزر |
| λ | طول موج نور لیزر |
| ν | ضریب پواسون |
| ρ | اندازه متوسط اسپکل حقیقی |
| σ | تنش |
| φ | فاز تداخلی |
| ω | فرکانس نور |
| ϕ | فاز نور |
| α | شیفت فاز |

فصل اول

مقدمه

فصل ۱ - مقدمه

در سالهای اخیر پیشرفت‌های چشمگیری در نرم افزارهای المان محدود برای شبیه‌سازی و مدل‌سازی تغییرشکل، کرنش و تنش قطعات انجام شده است. استفاده از این نرم افزارها، نسبت به روش‌های سنتی اندازه‌گیری تجربی تغییرشکل و کرنش، ارزانقیمت و سریع می‌باشد اما متغیرهای بسیاری مثل شرایط مرزی، غیرهموژنی مواد، آسیب‌دیدگی و غیره وجود دارد که این نرم افزارها نمی‌توانند به طور کافی آنها را مدل کنند. بعلاوه موادی مثل پلاستیک‌ها، لاستیک‌ها، کامپوزیت‌ها، مواد هوشمند، مواد پیزوالکتریک، مواد FGM و غیره وجود دارند که تحلیل آنها با نرم افزارهای تحلیلی پیشرفته هم، یا بسیار مشکل و بعضًا غیرممکن می‌باشد و یا با فرض‌های ساده‌کننده بسیاری قابل حل می‌باشد. بنابراین همچنان تکنیک‌های تجربی کارا، برای ارزیابی نتایج این نرم افزارها لازم می‌باشد.

یک تکنیک سنتی برای مشخص کردن مؤلفه‌های کرنش، استفاده از استرین‌گیچ‌ها می‌باشد. این یک روش ارزان و کارا برای یک سری از کاربردها می‌باشد. اما استرین‌گیچ‌ها تنها اطلاعات نقطه‌ای را در اختیار می‌گذارند و نمی‌توانند مکان‌های ماکریم کرنش را نشان دهند. لذا در مکان‌هایی که تغییر کرنش شدید می‌باشد، استفاده از استرین‌گیچ‌ها اطلاعات زیادی در اختیار قرار نمی‌دهد. بعلاوه استفاده از استرین‌گیچ‌ها وقت‌گیر بوده و به مهارت و دقت احتیاج دارد.

تداخل‌سنجدی هولوگرافی^۱ یک روش اپتیکی مناسب برای اندازه‌گیری تغییرشکل و جابجایی‌های کوچک می‌باشد. روش تداخل‌سنجدی طرح اسپکل دیجیتالی^۲ که امروزه به طور مخفف به نام روش DSPI یا ESPI شناخته می‌شود، یک نسخه الکترونیکی از روش تداخل‌سنجدی هولوگرافی می‌باشد. تفاوت عمده تداخل‌سنجدی هولوگرافی سنتی و تکنیک DSPI در نحوه ضبط طرح تداخلی است. در روش DSPI داده‌های تصویری توسط دوربین CCD و کارت رابط کامپیوتری به صورت دیجیتالی ضبط می‌شود. در نتیجه، مراحل وقت‌گیر ظهور و ثبت شیمیایی فیلم که در روش تداخل‌سنجدی هولوگرافی

¹ Holographic Interferometry

² Digital Speckle Pattern Interferometry

ستی وجود دارد، حذف می‌شود [۳-۱]. از آنجایی که در تکنیک DSPI، طرح‌های تداخلی به صورت دیجیتالی ثبت می‌شود، امکان انجام پردازش تصویر روی عکس‌های دیجیتالی گرفته شده و محاسبه میزان تغییرشکل و جابجایی در هر پیکسل میسر می‌باشد و می‌توان با مشتق‌گیری از توزیع تغییرشکل به دست آمده، توزیع کرنش سطح قطعه در جهت موردنظر به دست آورد.

از آنجایی که این روش در داخل کشور برای اولین بار است که مورد بررسی قرار می‌گیرد، هدف از انجام این پروژه، دستیابی به فناوری این تکنیک از نظر تئوری و عملی و آشنایی به عوامل تأثیر گذار روی دقت و کیفیت نتایج حاصل می‌باشد که به‌طور عملی این روش، با استفاده از جدیدترین پیشرفت‌هایی که در روش‌های شناسایی و واپیچش فاز، پردازش تصویر، دوربین‌های دیجیتال و روش‌های عددی اندازه‌گیری کرنش صورت گرفته است، آزمایش شد. نتایج این روش هم از نظر نحوه توزیع و هم از نظر مقادیر با حل المان محدود نمونه‌های مورد بررسی مطابقت دارد.

۱-۱- مزایای تکنیک تداخل سنجی طرح اسپکل دیجیتالی

تکنیک DSPI یک تکنیک پیشرفتی با قابلیت‌های شگفت‌انگیز می‌باشد که هم‌اکنون به‌طور گسترده استفاده می‌شود. در زیر مزایای این تکنیک آورده شده است [۶ و ۵ و ۴].

قابلیت اندازه‌گیری دقیق توزیع تغییرشکل، جابجایی و کرنش سطح قطعات

قابل استفاده برای تمام مواد اعم از فلز، پلاستیک، لاستیک، کامپوزیت، مواد هدفمند و غیره

غیرتماسی بودن

حساسیت و دقت بالای اندازه‌گیری

عدم نیاز به آماده‌سازی سطح

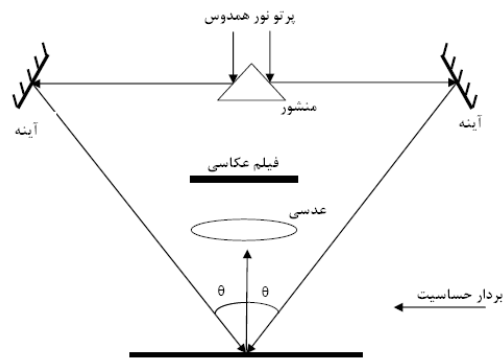
سهولت در اندازه‌گیری

سرعت بالای اندازه‌گیری

مشکل عمده این روش حساسیت به ارتعاشات و نویزهای محیطی می‌باشد که باعث ایجاد خطای شوند. بعلاوه محدوده جابجایی یا تغییرشکل قابل اندازه‌گیری در این روش محدود می‌باشد و به قدرت تفکیک دوربین مربوط می‌شود و ماکریم تا 50 میکرون می‌تواند برسد [۷].

۱-۲- تاریخچه

لیندرتز^۱ [۸] در سال ۱۹۷۰، روشی برای برقراری ارتباط میان ۲ طرح اسپکل که منجر به ایجاد فریزهایی که حساس به جابجایی در صفحه می‌باشد، ارایه کرد. در این تکنیک، از یک فیلم عکاسی استفاده شد که بوسیله یک منبع نور همدوس از دو جهت تحت تابش قرار گرفته بود(شکل ۱-۱).



شکل ۱-۱- چیدمان اولیه به کاررفته توسط لیندرتز برای اندازه‌گیری جابجایی در صفحه [۸]

این تکنیک، توسعه تکنیک‌های تداخل سنجی هولوگرافی می‌باشد که قبل^۲ در سال ۱۹۶۸ ابداع گردیده بود.

تکنیک DSPI اولین بار توسط باترز^۳ و لیندرتز [۹] در سال ۱۹۷۱ ارائه گردید. در این تکنیک، نور از دو جهت تابیده می‌شد و طرح اسپکل بوسیله یک دوربین ویدئویی ثبت می‌گردید. فریزهای تداخلی با

¹ Leendertz

² Butters